

**ПАРАМЕТРЫ ПОДОБИЯ И АППРОКСИМАЦИОННЫЕ ЗАВИСИМОСТИ  
ОСЕСИММЕТРИЧНОГО СВЕРХЗВУКОВОГО ТЕЧЕНИЯ У ЭЛЛИПСОИДОВ**

А. Н. МИНАЙЛОС

(Москва)

Для эллипсоидов вращения с отношением осей, изменяющимся от 0 (плоский торец) до 2, получены аппроксимационные формулы, справедливые в диапазонах  $2 \leq M_\infty \leq \infty$  и  $0.05 \leq K \leq 0.5$  как в совершенном, так и в равновесно-диссоциирующем газе ( $K$  — отношение плотностей в прямой ударной волне перед эллипсоидом).

Исследованы отход ударной волны на оси симметрии, градиент скорости в критической точке, размеры области влияния, коэффициент сопротивления.

1. Течение у затупленного тела при сверхзвуковых скоростях определяется формой тела и условиями набегающего потока. В случае равновесно-диссоциирующего газа набегающий поток может характеризоваться двумя параметрами: отношением плотности в набегающем потоке к плотности за прямой ударной волной  $K$  и числом Маха. При гиперзвуковых скоростях определяющим является параметр  $K$ , который в случае совершенного газа зависит только от  $\chi = C_p / C_v$ . Это позволяет рассматривать величину  $K$  как параметр и в случае совершенного газа. Переход к интегральному рассмотрению величины  $K$  в ударном слое [1] позволяет, по-видимому, обобщить полученные результаты и на неравновесные течения. На примерах сегментального тела [2] и сферы [3] показано, что течение равновесно-диссоциирующего газа можно моделировать течением совершенного газа в том случае, если эти течения имеют одинаковые значения  $K$  и  $M_\infty$ . Таким образом как в случае совершенного, так и равновесно-диссоциирующего газа (а, видимо, также и для неравновесных течений) параметрами, определяющими набегающий поток, являются значения  $K$  и  $M_\infty$ .

При разработке критериев подобия к ним предъявлялись следующие требования.

При переходе к гиперзвуковым скоростям критерии должны удовлетворять законам гиперзвуковых течений. Влияние параметров  $K$  и  $M_\infty$  можно разделить, если учесть, что при очень больших сверхзвуковых скоростях справедлив принцип независимости течения от числа  $M_\infty$ . Это разделение и позволяет построить критерии подобия, в которых главные члены являются функциями величины  $K$  и определяются на основе теории гиперзвуковых скоростей. А зависимость от числа  $M_\infty$  вводится эмпирически при обработке точных численных результатов, представленных в зависимости от главных членов.

Критерии должны гарантировать определенную точность и быть удобными для практического применения, т. е. определяться геометрией тела и параметрами набегающего потока. Закон подобия, предложенный в [1], неудобен, так как требует дополнительной информации для определения радиуса кривизны ударной волны.

Форма параметров должна быть такой, чтобы они сохраняли свой смысл как в случае совершенного, так и равновесно-диссоциирующего газа.

Геометрию тела зададим длиной полуоси эллипса  $a$ , направленной против вектора набегающего потока и являющейся осью симметрии течения. Другая полуось  $b$  имеет длину, равную единице. Набегающий поток задается значением  $M_\infty$  и параметрами за прямой ударной волной: отношением плотностей  $K$  и давлением  $P$ .

Для совершенного газа

$$K = \frac{\chi - 1}{\chi + 1} + \frac{2}{\chi + 1} \frac{1}{M_\infty^2}$$

$$P = \frac{P_1}{\rho_\infty V_{\max}^2} = \frac{\chi - 1}{2\chi(\chi + 1)} \frac{2\chi M_\infty^2 - (\chi - 1)}{1 + \frac{1}{2}(\chi - 1) M_\infty^2}$$

Точность полученных аппроксимаций оценивается по результатам численных расчетов.

2. В качестве главных членов критериев при обтекании сферы для функций  $\varepsilon_0$  (отход волны на оси симметрии),  $r_b$  (расстояние от оси симметрии до звуковой точки на теле),  $C_x$  (коэффициент сопротивления, отнесенный к площади миделя  $\pi$ ) взято значение  $K$ . Для градиента скорости в критической точке  $V^{-1}_{\max} dV / d\theta$  ( $\theta$  — длина дуги) главным членом является соотношение  $\sqrt{2}K(K + 2P)$ , полученное в предположении о постоянстве плотности в окрестности критической точки, справедливости модифицированной формулы Ньютона для давления и гиперзвуковых зависимостей

$$K \approx \frac{\chi + 1}{\chi - 1}, \quad \frac{P_0'}{\rho_\infty V_{\max}^2} \approx \frac{\chi + 3}{\chi + 1} \approx K + 2P$$

Положение звуковой точки на ударной волне в гиперзвуковом течении у сферы определяется углом  $\theta = \sqrt{K}$ . Тогда величину  $r_w$  можно представить в виде  $(1 + \varepsilon(\theta)) \sin \sqrt{K}$ . Поскольку значение  $\varepsilon(\theta)$  неизвестно, воспользуемся величиной  $\varepsilon_0$ . Учет нелинейности с помощью численных результатов приводит к параметру следующего вида:

$$a(1 + 0.67a^2) \quad a = (1 + \varepsilon_0) \sin \sqrt{K}$$

После определения главных членов из анализа результатов, представленных на графиках исследуемая функция — главный член параметра подобия, определены поправки, зависящие от числа  $M_\infty$ . Поправки введены таким образом, чтобы результаты численных расчетов обтекания сферы, обработанные в параметрах подобия легли для каждой функции с некоторым разбросом на одну кривую [4]. Эта кривая аппроксимировалась аналитической формулой, а разброс точек характеризовал точность аппроксимации относительно численных результатов.

Аппроксимационные формулы и параметры подобия для течения у сферы имеют вид

$$\begin{aligned} \varepsilon_0 &= N_1(0.76 + 1.05N_1^2), \quad N_1 = K + 0.07M_\infty^{-2} \\ V_{\max}^{-1} \frac{\partial u}{\partial \theta} &= 0.88N_2[1 - 0.15N_2], \quad N_2 = \sqrt{2K(K + 2P)} - (M_\infty^2 - 0.25)^{-1} \\ r_b &= 0.554 + N_3(0.6 - 0.366N_3), \quad N_3 = K + 0.1M_\infty^{-1} \\ r_w &= 1.05N_4, \quad N_4 = a(1 + 0.67a^2), \quad a = (1 + \varepsilon_0) \sin \sqrt{K} \\ C_x &= 1.056 - 0.75N_5 - 0.0016(N_5^2 + 0.011)^{-1}, \quad N_5 = K - 0.12M_\infty^{-2} \end{aligned}$$

Точность этих формул в процентах относительно численных решений в различных диапазонах чисел  $M$  приведена в таблице. Там же приведена и точность формул для эллипсоида вращения.

Исследуемая величина	Сфера		Эллипсоид вращения	
	совершенный газ	равновесное течение		
$\varepsilon_0$	4.5	3.5	$5 \left( \begin{array}{l} a \geqslant 0.333 \\ 0 \leqslant N_1 \leqslant 0.4 \end{array} \right)$	$5 \left( \begin{array}{l} a = 0 \\ 0.08 \leqslant N_1 \leqslant 0.32 \end{array} \right)$
$V_{\max}^{-1} \frac{\partial u}{\partial \theta}$	7.0	2.5	$3.5 (0.6 \leqslant N_2 \leqslant 0.8)$	—
$r_c$	0.8	0.17	$2 (0.1 \leqslant N_3 \leqslant 0.5)$	—
$r_w$	$10 (M_\infty < 2)$ $6.6 (M_\infty \geqslant 2)$	3.6	$3 (0.4 \leqslant N_4 \leqslant 0.8)$	$4 (0.8 \leqslant N_4 \leqslant 1.1)$
$C_x$	2.2	1.8	$1.5 \left( \begin{array}{l} N_5 > 0.02, a \geqslant 0.75 \\ N_5 > 0.02, a = 0.5 \\ N_5 > 0.02, a = 0 \end{array} \right)$	$5 \left( \begin{array}{l} a < 0.75 \\ 0.03 \leqslant N_5 \leqslant 0.09, \\ a = 0.5 \\ 0.13 \leqslant N_5 \leqslant 0.195, \\ a = 0 \end{array} \right)$

3. Рассмотрим теперь вопрос об аппроксимации скорости  $u$  на поверхности сферы. Введем вместо функции  $u(\theta)$  функцию  $\bar{u} = u(\theta) / u_{\theta'}$ , где  $u_{\theta'}(K, M_\infty)$  — градиент скорости в критической точке, вычисленный по формуле п. 2. Функции для различных значений  $K$  и  $M_\infty$  образуют пучок кривых, имеющих в точке  $\theta = 0$  производную, равную единице. Чтобы собрать этот пучок в линию  $u_1(\theta) = \theta$ , введем поправку, зависящую от  $\theta$ ,  $K$  и  $M_\infty$ .

Допустим, что основное изменение параметров течения на теле в зависимости от  $K$  определяется влиянием центробежных сил (поправкой Буземана)

$$\Delta P = -\rho u^2 / R_k$$

Здесь  $R_k$  — радиус кривизны тела. Взяв дифференциал интеграла Бернулли в случае совершенного газа и предположив, что плотность постоянна в поле течения,

получим для приращения скорости вызванных влиянием центробежных сил формулу

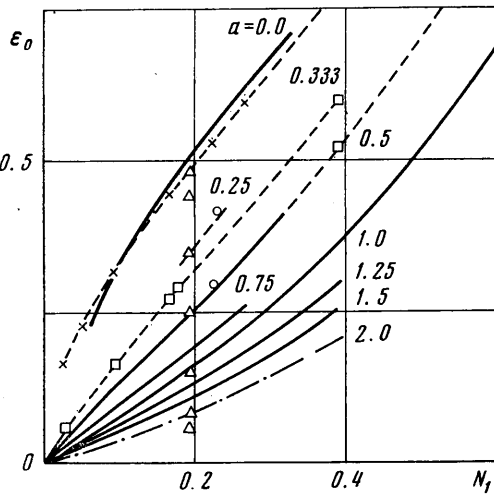
$$\Delta u = \frac{\kappa}{\kappa - 1} \frac{u}{R_h} \approx \frac{K+1}{2K} \frac{u}{R_h}$$

Коэффициент  $2K / (K + 1)$  и дополнительный член с квадратичной зависимостью от числа  $M_\infty$  определяют вид поправки

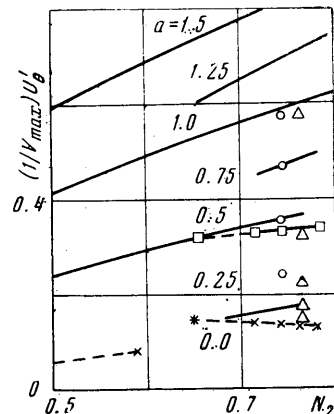
$$u(0) = u_0' \theta [1 + \theta^2 (0.01706 + 0.1757 M_\infty^{-2} - 1.025 K (1 + 2K)^{-1})]$$

Точность формулы относительно численного решения в диапазоне  $1.5 \leq M_\infty \leq \infty$  не ниже 5% при  $1.05 \leq \kappa < 1.2$  и 1.8% при  $1.2 \leq \kappa \leq 1.66$ .

Формула позволяет в случае совершенного газа с помощью интеграла Бернулли и энтропийной функции определить на сфере все параметры течения с точностью аппроксимационной формулы. Для равновесно-диссоциирующего газа формула тоже справедлива, однако для определения давления и плотности на сфере нужно интегрировать уравнение движения вдоль изэнтропы, что несколько сложнее расчета в случае совершенного газа. Но можно с достаточной точностью рассчитать значения давления и плотности, воспользовавшись подобием по  $K$  и  $M_\infty$  и перейдя к совершенному газу [2, 3].



Фиг. 1



Фиг. 2

4. Воспользуемся параметрами подобия у сферы для вывода аппроксимационных зависимостей в случае эллипсоида вращения. При этом по сравнению с течением у сферы появляется дополнительный параметр — линейный размер  $a$ .

Исследование обтекания эллипсоидов вращения с полусью  $a = 0.5, 0.75, 1, 1.25$  и  $1.5$  было проведено методом установления [4] в диапазоне изменения  $1.05 \leq \kappa \leq 1.4$  и  $1.5 \leq M_\infty \leq 1000$ . В исследуемом поле располагалось  $24 \times 11$  узлов расчетной сетки.

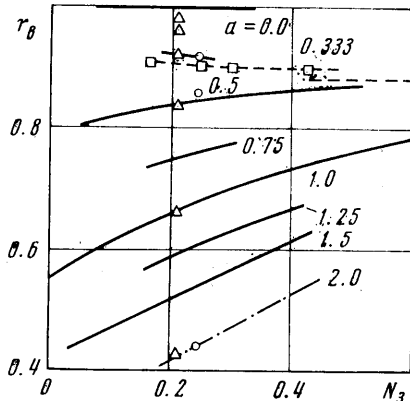
Результаты расчетов, дополненные данными из работ [5-10], построены в параметрах подобия для сферы на фиг. 1-4. На этих фигурах кривые при  $a = 1$  представляют собой аналитические зависимости из п. 2. Для каждого  $a = \text{const}$  точки при любых  $K$  и  $M_\infty$  ложатся на одну кривую, выбор которой определяется только значением  $a$ .

Сплошными линиями обозначены результаты настоящей работы, а также данные, полученные автором по методу [5] при  $a = 0$ . Штриховой линией с крестами обозначены результаты А. С. Холодова, полученные сеточно-характеристическим методом [6] в случае обтекания диска ( $a = 0$ ). Штриховой линией с белыми квадратами нанесены результаты работ [7, 8] в случаях  $a = 0.333, 0.5$ . Штрихпунктирной кривой нанесены данные [9], соответствующие  $a = 2$ . Отдельными, без кривых, белыми треугольниками показаны результаты [10] при числе  $M_\infty = 6$  и значениях  $a = 0.05, 0.1, 0.25, 0.5, 1, 2, 3$ . Белыми кружками обозначены результаты [11].

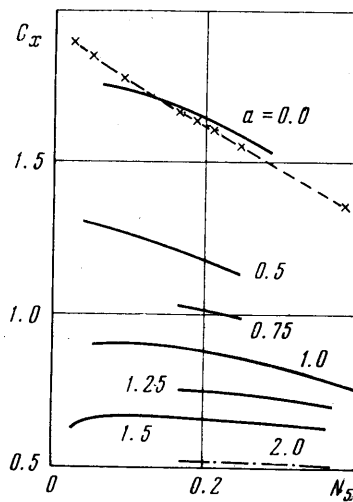
Сопоставим результаты расчетов. Отметим прежде всего, что различия в интегральной ( $C_x$ ) и локальных ( $\varepsilon_0, r_b, r_w$ ) характеристиках, полученных разными методами, значительно меньше, чем в значениях дифференциальной характеристики  $du / \partial \theta$ .

Значения  $\varepsilon_0$ , полученные в настоящей работе, отличаются от данных [7, 8, 10] не более чем на 0.5%, а от данных [11] на 5%. Также ~5% составляют отличия данных, полученных по методике [5], и результатов [6]. Все кривые для величин  $\varepsilon_0$  сходятся в точке  $\varepsilon_0 = 0, N_1 = 0$ . Эта точка соответствует гиперзвуковому пределу  $x = 1$  и  $M_\infty = \infty$ .

Наиболее низка точность совпадения значений  $\partial u / \partial \theta$ . Отличия составляют от



Фиг. 3



Фиг. 4

данных работ [7, 10, 11] ~10%. Результаты [7] при  $a = 0.5$  и [6] при  $a = 0$  и  $x = 1.4$  имеют значения  $d\varepsilon_0 / dN_1$ , существенно отличающиеся (вплоть до знака) от полученных в настоящей работе. При этом данные [6] для  $a = 0$  при  $x = 1.4$  (фиг. 2) не соответствуют данным этой же работы при  $x < 1.4$  (эти последние результаты находятся в хорошем качественном соответствии с результатами расчета эллипсоидов).

Расхождения в результатах различных авторов в функции  $r_b$  (фиг. 3) не превышают 1.5%. Несколько странно выглядит только тенденция роста величины  $r_b$  при уменьшении значения  $N_3$  в результатах [7] при  $a = 0.333$  (это «несоответствие» укладывается, правда, в 2 ± 3% величины  $r_b$ ).

В значениях  $r_w$  отличия не превышают 2%, за исключением результатов Ю. М. Да-видова [12], в которых с уменьшением числа  $M_\infty$  ошибка возрастает, достигая при  $N_4 = 1.9$  примерно  $35 \div 40\%$ . По-видимому, результаты [12] (использована модификация известного метода FLIC) могут рассматриваться только как качественные по крайней мере для ряда характеристик течения.

Кривые для отдельных значений  $a = \text{const}$  в диапазоне  $N_4 > 0.3$  практически параллельны. При стремлении  $M_\infty$  к бесконечности и  $(x - 1)$  к нулю, величины  $r_w$  сходятся к нулю.

Расчетные коэффициенты сопротивления полузэллипсоидов в литературе почти отсутствуют. Сопоставление результатов, полученных по методу [5], со значениями из [6] при  $a = 0$  дает максимальное отличие ~2.8% в области малых значений  $N_5$ .

Характерное уменьшение величины  $C_x$  (фиг. 4) при малых значениях  $N_5$  для заданной кривой  $a = \text{const}$  вызвано влиянием центробежных сил [4]. Это падение  $C_x$  ослабевает с уменьшением параметра  $a$  и совсем отсутствует при  $a = 0$  в результатах [6].

5. Не меняя параметров подобия, трансформируем исследуемые функции таким образом, чтобы свести их к кривым, соответствующим  $a = 1$ . В результате такой трансформации с помощью аналитических зависимостей от  $a$  и  $M_\infty$  получены аппроксимационные формулы

$$\varepsilon_0 = \varepsilon_c - N_1 [0.42 + 0.262(a - 2) - 0.18(a - 2)^2] + \beta \quad (0 \leq a \leq 2)$$

$$(0 \leq N_1 \leq 0.4)$$

$$\beta = \begin{cases} 0.17 - 0.38a + 0.29a^2 & (a < 0.6) \\ 0 & (a \geq 0.6) \end{cases}$$

$$V_{\max}^{-1} \frac{\partial u}{\partial \theta} = (0.188 + 0.692a)N_2(1 - 0.15N_2)$$

$$r_b = 1 + a(0.35 - 0.0125a^2)(N_3 - 1.2)$$

$$r_w = 1.05N_4 - 0.38(a-1) + 0.017(a^3 - 1) \quad (0 \leq a \leq 2) \\ (2 \leq M_\infty \leq \infty)$$

$$C_s = C_{\infty} - [1 - 0.44(N_5 - 0.1) - 0.72(N_5 - 0.1)^2](a-1) + 0.21(a^2 - 1)$$

где индекс  $s$  дает значение соответствующего параметра для сферы.

Точность этих формул приведена в таблице.

Аппроксимационная формула для скорости на поверхности эллипсоида имеет следующий вид:

$$u(\theta) = u_\infty' \theta [1 + (-0.033 + 0.176M_\infty^{-2} - 1.025K(1+6K)^{-1} - \\ - 0.15(a-1)(5-a))\theta^{2(2-a)+(1.5-a)^a}]$$

Точность ее при  $0.5 \leq a \leq 1.5$ ,  $3 \leq M_\infty \leq \infty$  и  $\kappa \geq 1.2$  не ниже 11%. Как и аналогичная формула для сферы, она позволяет определить все параметры на поверхности эллипсоида.

В заключение отметим, что описанным выше приемом с помощью теории гиперзвуковых течений и численных результатов можно построить аппроксимационные зависимости практически для любого параметра течения в ударном слое.

Автор благодарит Ю. Б. Радвогина и А. С. Холодова за предоставленные для сравнения результаты расчетов.

Поступила 4 I 1972

#### ЛИТЕРАТУРА

- Ступлов В. П. О законе подобия при сверхзвуковом обтекании затупленных тел. Изв. АН СССР, МЖГ, 1969, № 4.
- Лебедев М. Г., Миногцев В. Б., Теленин Г. Ф., Тиняков Г. П. Приближенный метод учета влияния реальности газа при гиперзвуковом обтекании сегментальных тел. Изв. АН СССР, МЖГ, 1969, № 2.
- Косых А. П., Минайлов А. Н. Обтекание сферической поверхности сверхзвуковым потоком равновеснодиссоциирующего воздуха. Уч. зап. ЦАГИ, 1971, т. 2, № 5.
- Бажин А. П., Благосклонов В. И., Минайлов А. Н., Пирогова С. В. Обтекание сферы сверхзвуковым потоком совершенного газа. Уч. зап. ЦАГИ, 1971, т. 2, № 3.
- Козлова И. Г., Минайлов А. Н. Несимметричное обтекание лобовой части тела вращения сверхзвуковым потоком совершенного или реального газа. Ж. вычисл. матем. и матем. физ., 1967, т. 7, № 3.
- Численное исследование современных задач газодинамики. М., ВЦ АН СССР, 1973 (в печати)..
- Гилинский С. М., Теленин Г. Ф., Тиняков Г. П. Метод расчета сверхзвукового обтекания затупленных тел с отошедшей ударной волной. Изв. АН СССР, Механика и машиностроение, 1964, № 4.
- Гилинский С. М., Лебедев М. Г. Исследование обтекания плоских и осесимметричных тел с отошедшей ударной волной потоком с малой сверхзвуковой скоростью. Изв. АН СССР, Механика, 1965, № 1.
- Любимов А. Н., Русланов В. В. Течения газа около тупых тел. М., «Наука», 1970.
- Бабенко К. П., Иванова В. Н., Казанджан Э. П., Кукаркина М. А., Радвогин Ю. Б. Нестационарное обтекание головной части затупленного тела идеальным газом. М., ИПМ, АН СССР, 1969.
- Holt M., Hoffmann G. Calculation of hypersonic flow past spheres and ellipsoids JAS — ARS Report, 1961, № 61—209—1903, 29, p. 7.
- Белоцерковский О. М., Давыдов Ю. М. Нестационарный метод крупных частиц для газодинамических расчетов. Ж. вычисл. матем. и матем. физ., 1971, т. 11, № 1, стр. 182—207.